

ΠΕΡΙΓΡΑΜΜΑ ΚΑΝ.ΕΠΕ.

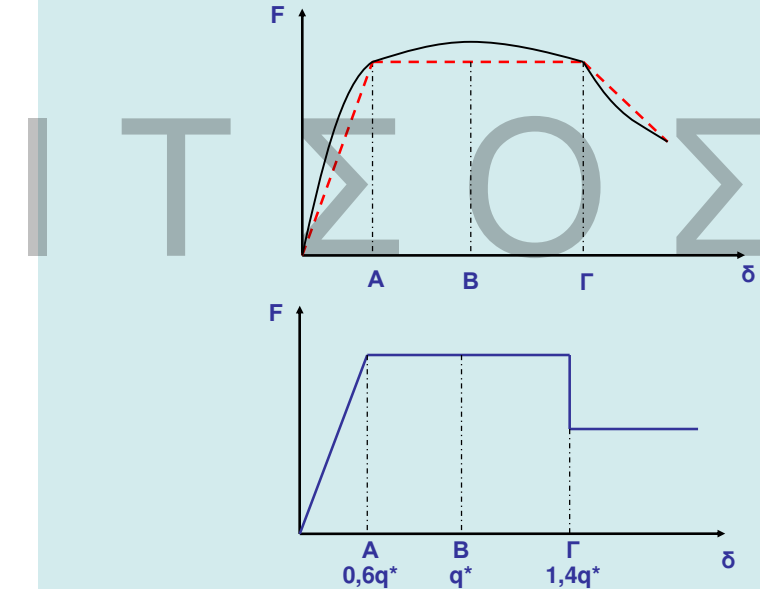
Σ.Η.ΔΡ
➤Στέφανος Δρίτσος

Τμήμα Πολιτικών Μηχανικών, Πανεπιστήμιο Πατρών

Πάτρα, Σεπτέμβριος-Οκτώβριος 2009

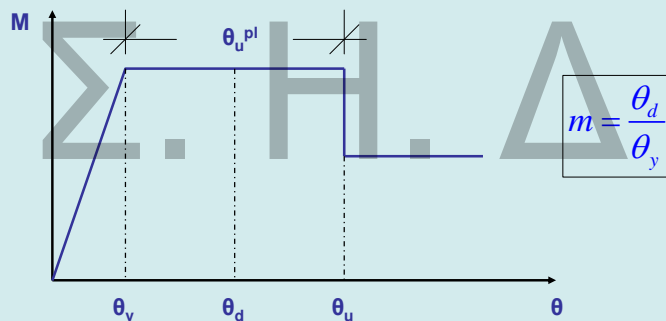
1

ΠΡΟΣΟΜΟΙΩΣΗ ΣΥΜΠΕΡΙΦΟΡΑΣ ΚΑΤΑΣΚΕΥΗΣ



2

ΙΚΑΝΟΤΗΤΕΣ ΜΕΛΩΝ



Ικανότητα στροφής χορδής κατά τη διαρροή:

$$\theta_y = (1/r)_y \frac{L_s + a_V z}{3} + 0,0014 \left(1 + 1,5 \frac{h}{L_s} \right) + \frac{(1/r)_y d_b f_y}{8\sqrt{f_c}}$$

Δοκοί και
Υποστυλώματα

$$\theta_y = (1/r)_y \frac{L_s + a_V z}{3} + 0,0013 + \frac{(1/r)_y d_b f_y}{8\sqrt{f_c}}$$

Τοιχεία ορθογωνικής,
Τ- και Ι-
Διατομής ³

ΙΚΑΝΟΤΗΤΕΣ ΜΕΛΩΝ

Οριακή ικανότητα στροφής χορδής:

$$\theta_{um} = 0,016 \cdot (0,3)^V \left[\frac{\max(0,01; \omega') f_c}{\max(0,01; \omega)} \right]^{0,225} (\alpha_s)^{0,35} 25 \left(\alpha \rho_s \frac{f_{yw}}{f_c} \right) (1,25)^{100 \rho_d}$$

Πλαστικό τμήμα ικανότητας στροφής χορδής:

$$\theta_{um}^{pl} = \theta_u - \theta_y = 0,0145 (0,25)^V \left[\frac{\max(0,01; \omega)}{\max(0,01; \omega')} \right]^{0,3} (f_c)^{0,2} (\alpha_s)^{0,35} 25 \left(\alpha \rho_s \frac{f_{yw}}{f_c} \right) (1,275)^{100 \rho_d}$$

4

Μάτιση Ράβδων με νευρώσεις σε ευθύγραμμο μήκος I_o

- Σε μάτιση θλιβομένων ράβδων μετρούν και οι δύο στο θλιβόμενο οπλισμό
- Για $M_y, \phi_y, \theta_y; f_y \times l_o / l_{oy,min}$, αν $l_o < l_{oy,min} = (0.3 \cdot f_y / \sqrt{f_c}) \cdot d_b$
- Για τη στροφή χορδής στην αστοχία: $\theta_{um}^{pl} \times l_o / l_{ou,min}$, αν $l_o < l_{oy,min} = d_b \cdot f_y / [(1.05 + 14.5 \cdot \sigma_{rs} \cdot \omega_{sx}) \sqrt{f_c}]$

Μάτιση λείων Ράβδων με άγκυστρα & ευθύγραμμο μήκος παράθεσης $l_o > 15d_b$

- Σε μάτιση θλιβομένων ράβδων μετρούν και οι δύο στο θλιβόμενο οπλισμό
- Για M_y, ϕ_y, θ_y : πλήρες f_y εφελκυομένων ράβδων
- Για τη στροφή χορδής στην αστοχία: θ_{um} επιπλέον $\times (10 + l_o / d_b) / 50$, αν $l_o < 40d_b$

5

ΕΛΕΓΧΟΙ ΑΣΦΑΛΕΙΑΣ

Στάθμη Επιτελεστικότητας:

- Άμεση Χρήση (DL):

$$\theta_d = \theta_y$$

- Ασφάλεια Ζωής (SD):

Πρωτεύοντα:

$$\theta_d = \frac{1}{\gamma_{Rd}} \frac{\theta_y + \theta_u}{2}$$

Δευτερεύοντα ή Τοιχοπληρώσεις:

$$\theta_d = \frac{\theta_u}{\gamma_{Rd}}$$

Όπου: $\gamma_{Rd} = 1,8$ για πρωτεύοντα ή δευτερεύοντα
 $\gamma_{Rd} = 3,0$ για τοιχοπληρώσεις

- Οιονεί Κατάρρευση (NC)

$$\theta_d = \frac{\theta_u}{\gamma_{Rd}}$$

Όπου: $\gamma_{Rd} = 1,8$ για πρωτεύοντα
 $\gamma_{Rd} = 1,0$ για δευτερεύοντα ή τοιχοπληρώσεις

ΙΚΑΝΟΤΗΤΑ ΣΕ ΤΕΜΝΟΥΣΑ

Δοκοί και Υποστυλώματα

$$V_R = \frac{h-x}{2L_s} \min(N, 0.55A_cf_c) + (1 - 0.05 \min(5, \mu_\theta^{pl})) [0.16 \max(0.5, 100\rho_{tot})(1 - 0.16 \min(5, \alpha_s)) \sqrt{f_c} A_c + V_w]$$

Όπου:

$$V_w = \rho_w b_w z f_{yw}$$

Για ορθογωνικές διατομές

$$V_w = \frac{\pi}{2} \frac{A_w}{s} f_{yw} (D - 2c)$$

Για κυκλικές διατομές

Τοιχώματα

$$V_{R,max} = 0.85 (1 - 0.06 \min(5, \mu_\theta^{pl})) \left(1 + 1.8 \min(0.15, \frac{N}{A_cf_c}) \right) (1 + 0.25 \max(1.75, 100\rho_{tot})) (1 - 0.2 \min(2, a_s) \sqrt{f_c} b_w z)$$

Κοντά Υποστυλώματα ($LV/h \leq 2$)

$$V_{R,max} = \frac{4}{7} (1 - 0.02 \min(5, \mu_\theta^{pl})) \left(1 + 1.35 \frac{N}{A_cf_c} \right) (1 + 0.45 (100\rho_{tot})) \sqrt{\min(40, f_c)} b_w z \sin 2\delta$$

ΕΛΑΣΤΙΚΗ ΑΝΑΛΥΣΗ (μέθοδος q)

Χονδρική Εκτίμηση Δείκτη Συμπεριφοράς q

Εφαρμοσθέντες Κανονισμοί μελέτης (και κατασκευής)	Ευμενής παρουσία τοιχοπληρώσεων (στο σύνολο του κτιρίου)	Δυσμενής παρουσία ή απουσία τοιχοπληρώσεων
1995 < ...	3,00	2,30
1985 < ... < 1995	2,30	1,80
... < 1985	1,80	1,30

ΤΕΚΜΗΡΙΩΣΗ

- Γενικές πληροφορίες
- Απαιτούμενα Δεδομένα

- a) Προσδιορισμός φέροντος οργανισμού και έλεγχος αν τηρεί τα κριτήρια κανονικότητας του EC8- Part 1
- b) Τύπος θεμελίωσης
- c) Συνθήκες εδάφους
- d) Διαστάσεις διατομών και μηχανικές χαρακτηριστικές υλικών
- e) Πληροφορίες για πιθανά ελαττώματα στα υλικά και στην τοποθέτηση του οπλισμού
- f) Πληροφορίες για τους κανόνες αντισεισμικού σχεδιασμού της εποχής μελέτης, q=?
- g) Χρήση κτηρίου και κατηγοριοποίηση σπουδαιότητας
- h) Επανεκτίμηση των πραγματικών δράσεων (φορτίων)
- i) Πληροφορίες για προγενέστερες ή παρούσες βλάβες και τυχόν επεμβάσεις

9

Στάθμες Αξιοπιστίας Δεδομένων (ΣΑΔ)

- Υψηλή
- Ικανοποιητική
- Ανεκτή
- Ανεπαρκής: επιτρέπεται, μόνο για δευτερεύοντα στοιχεία

Χάλυβας: Επιτρέπεται μακροσκοπική αναγνώριση και κατάταξη, οπότε η ΣΑΔ θεωρείται ικανοποιητική

10

Στάθμες Αξιοπιστίας Δεδομένων (ΣΑΔ)

Σκυρόδεμα

- Μέθοδοι εκτίμησης f_c : Συνδυασμός έμμεσων μεθόδων, βαθμονόμηση με λίγους πυρήνες. Προσοχή στις καμπύλες αναγωγής και συσχέτισης.
- Απαιτούμενο πλήθος δοκιμών:
 - Όχι συλλίβδην, δηλ. για όλους τους ορόφους και όλα τα δομικά στοιχεία.
 - Τουλάχιστον 3 πυρήνες ανά ομοιειδή δομικά στοιχεία ανά δύο ορόφους, οπωσδήποτε στον "κρίσιμο" όροφο.
- Επιπλέον μέθοδοι (υπερχοσκόπιση ή κρουσμέτρηση ή εξόλκευση ήλου για $f_c < 15 \text{ MPa}$):
 - Υψηλή ΣΑΔ/όροφο: 45% κατ.στοιχ./25% ορ. στοιχ.
 - Ικανοποιητική ΣΑΔ/όροφο: 30% κατ.στοιχ./25% ορ. στοιχ.
 - Ανεκτή ΣΑΔ/όροφο: 15% κατ.στοιχ./7,5% ορ. στοιχ.

11

Στάθμες Αξιοπιστίας Δεδομένων

Δεδομένα:

ΕΙΔΟΣ ΚΑΙ ΓΕΩΜΕΤΡΙΑ ΦΟΡΕΑ ΘΕΜΕΛΙΩΣΗΣ	ΕΙΔΟΣ ΚΑΙ ΓΕΩΜΕΤΡΙΑ ΦΟΡΕΑ ΑΝΩΔΟΜΗΣ	ΕΙΔΟΣ ΚΑΙ ΓΕΩΜΕΤΡΙΑ ΤΟΙΧΟΠΛΗΡΩΣΕΩΝ	ΙΔΙΑ ΒΑΡΗ ΕΠΙΣΤΡΩΣΕΩΝ ΕΠΕΝΔΥΣΕΩΝ, Κ.λ.π.
--------------------------------------	------------------------------------	------------------------------------	------------------------------------------

ΟΠΛΙΣΗΣ		
ΔΙΑΤΑΞΗ ΟΠΛΙΣΜΟΥ ΔΙΑΜΕΤΡΟΣ ΡΑΒΔΩΝ	ΑΓΚΥΡΩΣΕΙΣ ΠΑΡΑΘΕΣΕΙΣ ΑΝΑΜΟΝΕΣ	«ΚΛΕΙΣΙΜΟ» ΣΥΝΔΕΤΗΡΩΝ

12

Στάθμες Αξιοπιστίας Δεδομένων

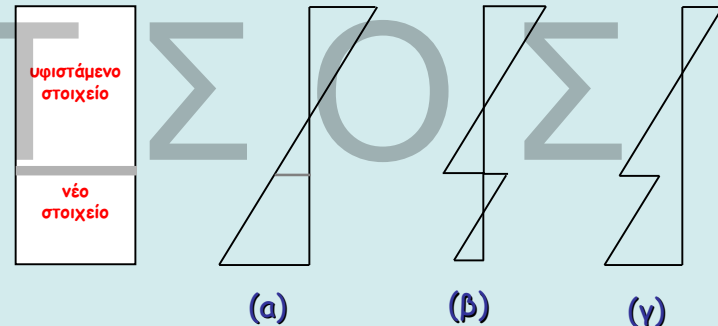
▪ Προέλευση Δεδομένου:

1	Δεδομένο που προέρχεται από σχέδιο της αρχικής μελέτης η οποία έχει αποδεδειγμένα εφαρμοστεί	3	Δεδομένο που προέρχεται από αναφορά, σε μορφή κειμένου υπομνήματος, σε σχέδιο της αρχικής μελέτης.
2	Δεδομένο που προέρχεται από σχέδιο της αρχικής μελέτης η οποία έχει εφαρμοστεί με λίγες τροποποιήσεις που εντοπίσθηκαν κατά τη διερεύνηση	4	Δεδομένο που έχει διαπιστωθεί ή/και μετρήθει ή/και αποτυπωθεί αξιόπιστα
		5	Δεδομένο που έχει προσδιοριστεί με έμμεσον τρόπο
		6	Δεδομένο που έχει ευλόγως θεωρηθεί κατά κρίση Μηχανικού
		7	Δεν υπάρχουν δεδομένα

13

ΔΙΑΣΤΑΣΙΟΛΟΓΗΣΗ ΕΠΕΜΒΑΣΕΩΝ ΚΑΤΑ ΚΑΝ.ΕΠΠΕ.

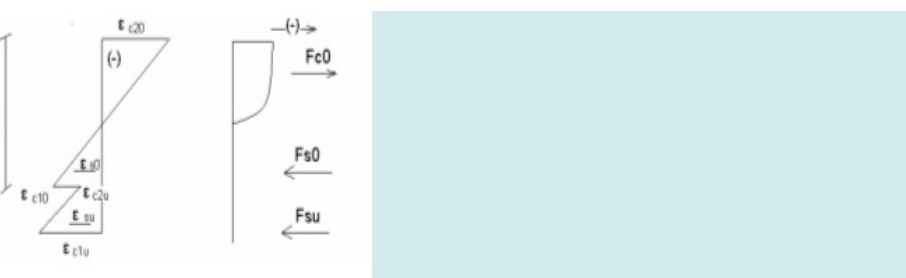
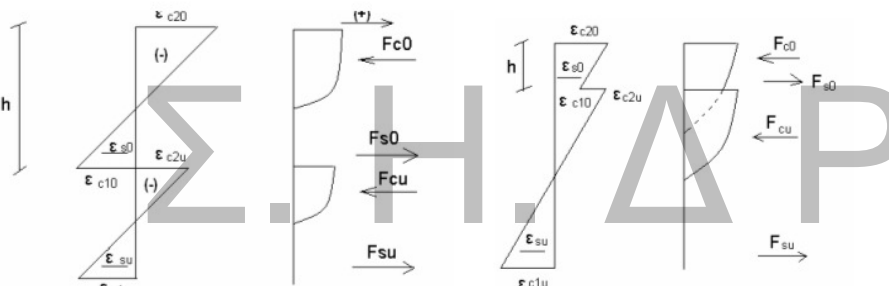
ΝΕΟ "ΣΥΝΘΕΤΟ" ΣΤΟΙΧΕΙΟ



Κατανομή παραμορφώσεων στη σύνθετη διατομή
(a) με μονολιθική συμπεριφορά,
(β), (γ) με ολίσθηση στη διεπιφάνεια

Απαιτείται προσομοίωμα μεταφοράς Διατμητικής Δύναμης

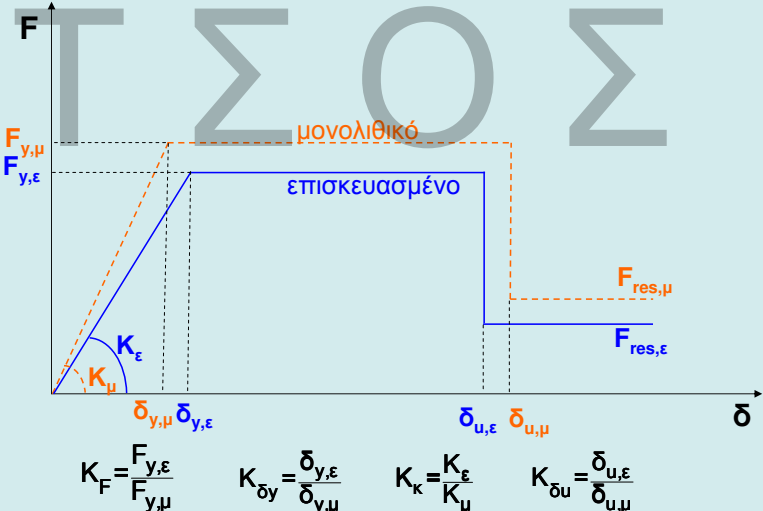
14



Πιθανή Κατανομή Παραμορφώσεων και Τάσεων

15

ΚΑΜΠΤΥΛΕΣ ΕΝΤΑΤΙΚΟΥ ΜΕΓΕΘΟΥΣ-ΠΑΡΑΜΟΡΦΩΣΗΣ ΜΕ ΕΠΙΣΚΕΥΑΣΜΕΝΑ ΣΤΟΙΧΕΙΑ



16

ΣΥΝΤΕΛΕΣΤΕΣ ΜΟΝΟΛΙΘΙΚΟΤΗΤΑΣ

$$k_k = \frac{\text{Δυσκαμψία πραγματικού σύνθετου στοιχείου}}{\text{Δυσκαμψία μονολιθικού στοιχείου}}$$

$$k_r = \frac{\text{Αντοχή πραγματικού σύνθετου στοιχείου}}{\text{Αντοχή μονολιθικού στοιχείου}}$$

$$k_k \leq k_r \leq 1,0$$

$$k_\mu = \frac{\text{Πλαστιμότητα πραγματικού σύνθετου στοιχέων}}{\text{Πλαστιμότητα μονολιθικού στοιχέων}}$$

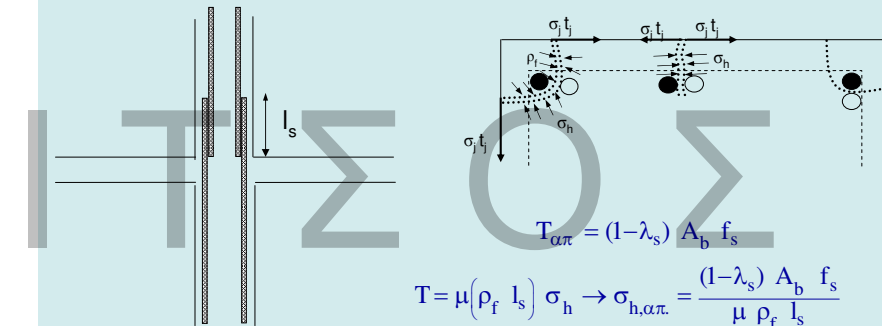
$$k_{\delta u} = \frac{\text{Οριακή παραμόρφωση πραγματικού σύνθετου στοιχείου}}{\text{Οριακή παραμόρφωση μονολιθικού στοιχείου}}$$

Προσεγγιστική Μέθοδος Μονολιθικής Συμπεριφοράς

Αντοχή, Πλαστιμότητα, Δυσκαμψία, Ικανότητα Παραμόρφωσης Ενισχυμένου Στοιχείου = k_i (Αντοχή, Πλαστιμότητα, Δυσκαμψία, Ικανότητα Παραμόρφωσης Μονολιθικού Στοιχείου)

17

ΑΠΟΚΑΤΑΣΤΑΣΗ ΙΚΑΝΟΤΗΤΑΣ ΠΕΡΙΟΧΗΣ ΜΕ ΜΕΙΩΜΕΝΑ ΜΗΚΗ ΜΑΤΙΣΜΕΝΩΝ ΡΑΒΔΩΝ



$$T = \mu (\rho_f l_s) \sigma_h \rightarrow \sigma_{h,\alpha\pi.} = \frac{(1-\lambda_s) A_b f_s}{\mu \rho_f l_s}$$

$$\sigma_j t_j = \sigma_h B$$

όπου: $\beta = \rho_f / B$

$$t_{j,\alpha\pi.} = \frac{(1-\lambda_s) A_b f_s}{\beta \mu l_s \sigma_j}$$

18

$$A_j / s = \gamma_{Rd} \frac{(1-\lambda_s)}{\beta} \frac{1}{\mu} \frac{f_y k}{\sigma_j} \frac{A_b}{l_s}$$

$$A_j = t_j w_j$$

$$\sum$$

$$\sigma_{j,dl} = E_j \cdot \varepsilon_{jd} \leq \sigma_{j,max}$$

για συνεχή μανδύα

$$\sigma_{j,max} = f_{yd}$$

$$\sigma_{j,max} = f_{yd}$$

για στοιχεία από χάλυβα

$$\sigma_{j,max} = 0,75 \cdot E_j \cdot \varepsilon_{ju}$$

για στοιχεία από ΙΟΠ

$$0 \leq \lambda_s \leq 1 \quad \lambda_s = \frac{1}{l_{so}}$$

$$\lambda_s = 0$$

$$\mu = \mu_o \left(f_{ck} / \sigma_N \right)^{2/3}$$

(πρακτικά $\mu = 0,4$ έως $2,0$)

Γωνιακές ράβδοι

$$\varepsilon_j = \frac{\sqrt{2} w}{b}, \quad w = 0,6 \delta^{2/3}$$

Priestley, Sieble κ.α. (Ref. 20)

$$\varepsilon_j = 1\%_0$$

$$\mu = 1,0 - 1,4$$

$$\beta = 1,0$$

$$\lambda_s = 0$$

19

Για Γωνιακές Ράβδους

$$(A_j/s)_{\alpha\pi} = \left[k_1 \left(\frac{f_{sy}}{f_c} \frac{d_s}{l_s} \right) - 0,4 \frac{c}{d_s} - 0,30 \right]^2 \frac{f_c^2 \cdot d_s^2}{k_2 \cdot E_j \cdot f_{ctm}}$$

$$A_j / s = t_j$$

για συνεχή μανδύα

$$k_1 = 1,7 \text{ για στάθμη επιτελεστικότητας } A$$

$$= 1,5 \text{ για στάθμη επιτελεστικότητας } B \text{ ή } \Gamma$$

$$k_2 = 0,3$$

$$\frac{c}{d_s} \geq 2$$

20

ΕΝΙΣΧΥΣΗ ΕΦΕΛΚΥΟΜΕΝΗΣ ΖΩΝΗΣ

- Προσθήκη Ελασμάτων (χάλυβα ή ΙΟΠ) ή υφασμάτων από ΙΟΠ στο εφελκυόμενο πέλμα
- Προσθήκη Νέας Στρώσης Οπλισμένου Σκυροδέματος στο εφελκυόμενο ή στο θλιβόμενο πέλμα

ΕΝΙΣΧΥΣΗ ΘΛΙΒΟΜΕΝΗΣ ΖΩΝΗΣ

- Προσθήκη Νέας Στρώσης Οπλισμένου Σκυροδέματος στο εφελκυόμενο ή στο θλιβόμενο πέλμα

ΣΥΓΧΡΟΝΗ ΕΝΙΣΧΥΣΗ ΕΦΕΛΚΥΟΜΕΝΗΣ ΚΑΙ ΘΛΙΒΟΜΕΝΗΣ ΖΩΝΗΣ

- Συνίσταται η χρήση μανδυών

21

ΤΡΟΣΘΗΚΗ ΕΛΑΣΜΑΤΩΝ Η ΥΞΑΣΜΑΤΩΝ

- Το υφιστάμενο στοιχείο πρέπει να μπορεί να αναλάβει την ένταση από μόνιμα φορτία
- Στην φάση αστοχίας να έχει διαρρεύσει ο υφιστάμενος εφελκυόμενος οπλισμός
- Το υλικό ενίσχυσης θεωρείται νέος εξωτερικός οπλισμός και το στοιχείο μονολιθικό

Εφελκυστικές Δυνάμεις από την **συνολική καμπτική** ένταση
→ **Νέος + Παλαιός οπλισμός**

$$A_j = \frac{\Delta M_{do}}{z \cdot \sigma_{jd}}$$

- Κατασκευαστικές Διατάξεις
πάχος, πλάτος, πλήθος στρώσεων, χρήση βλήτρων, κ.λ.π.

22

Τάση Σχεδιασμού Υλικού Ενίσχυσης

Πιθανές Μορφές Αστοχίας

- Θραύση του υλικού ενίσχυσης: $\sigma_{jd} = \frac{1}{\gamma_m} \cdot f_{jk}$
- Πρώτη αποκόλληση του υλικού ενίσχυσης (στα άκρα ή σε ενδιάμεσες θέσεις) $\sigma_j = \frac{\sigma_{j,crit}}{\gamma_{Rd}} \quad \gamma_{Rd}=1,2$

$$\sigma_{j,crit} = \beta \frac{t_b}{t_j} L_e$$

$$\beta = \beta_w \cdot \beta_L$$

Διορθωτικός συντελεστής

$$L_e = \sqrt{\frac{E_j t_j}{2f_{ctm}}}$$

Ενεργό μήκος αγκύρωσης

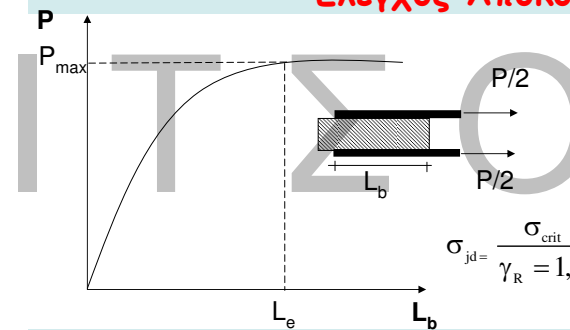
$$t_j = \psi \cdot k \cdot t_{jl}$$

t_{jl} = πάχος στρώσης

$$\psi = k^{-1/4}$$

23

Έλεγχος Αποκόλλησης



$$L_e = \sqrt{\frac{E_j t_j}{2f_{ctm}}} \quad \sum P_{max} = k f_{ctm} b_j L_e$$

$$\sigma_{jd} = \frac{\sigma_{crit}}{\gamma_R} = \frac{P_{max}}{1,2 b_j t_j} \cong 1,15 \sqrt{\frac{E_j f_{ctm}}{2 t_j}}$$

Ας θεωρηθεί η περίπτωση μίας δοκού από σκυρόδεμα C16/20 που ενισχύεται στο εφελκυόμενο πέλμα με ένα έλασμα ΙΟΠ-Ανθρακα, πάχους $t_j=1mm$ και πλάτους $b_j=1/2b_w$. Εξετάζοντας την 2η μορφή αστοχίας λαμβάνεται:

$$f_{ctm} \cong 0.3 f_{ck}^{2/3} = 0.316^{2/3} = 1.92 \text{ MPa} \quad \text{και}$$

$$\sigma_{j,crit} = 1.15 \sqrt{\frac{200 \times 1.92 \times 10^3}{2}} = 504 \text{ MPa}$$

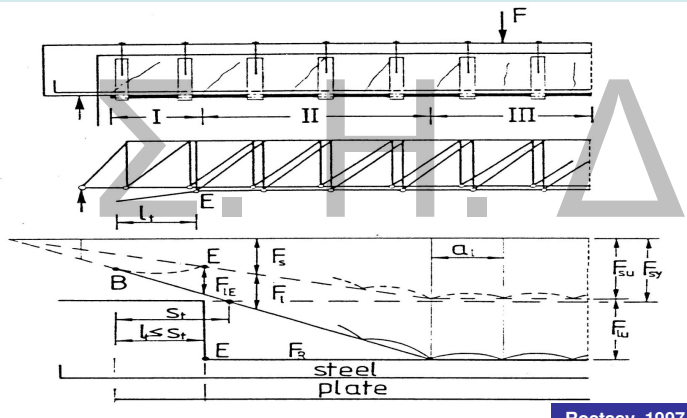
▪ Χρήσιμη τεχνική για ενισχύσεις γύρω από νέα ανοίγματα σε πλάκες, τοιχώματα

24

Έλεγχος Απόσχισης Άκρου

$$V_{sd, \text{απολ.}} \leq V_{cd, \text{απολ}}$$

$$M_{sd, \text{απολ.}} \leq 0.67 M_{Rd, \text{απολ}}$$



$$V_{sdj} = \frac{A_j \sigma_{jd}}{A_{so} f_{ydo} + A_j \sigma_{jd}} V_{sd, \text{απόλ.}}$$

25

ΠΡΟΣΘΗΚΗ ΝΕΑΣ ΣΤΡΩΣΗΣ ΣΚΥΡΟΔΕΜΑΤΟΣ

Εκτίμηση ικανότητας

- Με συνεκτίμηση της ολίσθησης
- Προσεγγιστικά με χρήση συντελεστών μονολιθικότητας

Για πλάκες:

$$k_k = 0,85 \quad k_r = 0,95 \quad k_{\theta y} = 1,15 \quad k_{\theta u} = 0,85$$

Για λοιπά στοιχεία:

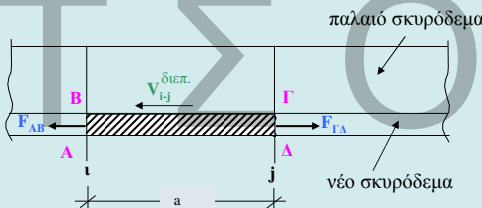
$$k_k = 0,80 \quad k_r = 0,85 \quad k_{\theta y} = 1,25 \quad k_{\theta u} = 0,75$$

27



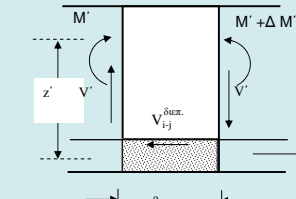
ΠΡΟΣΘΗΚΗ ΝΕΑΣ ΣΤΡΩΣΗΣ ΣΚΥΡΟΔΕΜΑΤΟΣ

Έλεγχος Διεπεφανειών - Αγκυρώσεων



$$\sum V_{ij, \text{διεπ.}} = F_{AB} - F_{GD}$$

ή



$$V_{ij, \text{διεπ.}} = \frac{\Delta M'}{z'} = V' \frac{a}{z'}$$

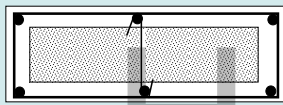
$M', V' =$ Ροπή, Τέμνουσα λόγω δράσεων μετά την επέμβαση

Ελάχιστο Ποσοστό Βλήτρων

$$\rho_\delta = \frac{A_{sd}}{A_{so} \sin \alpha} \geq 0,18 \frac{f_{dm}}{f_{yk}}$$

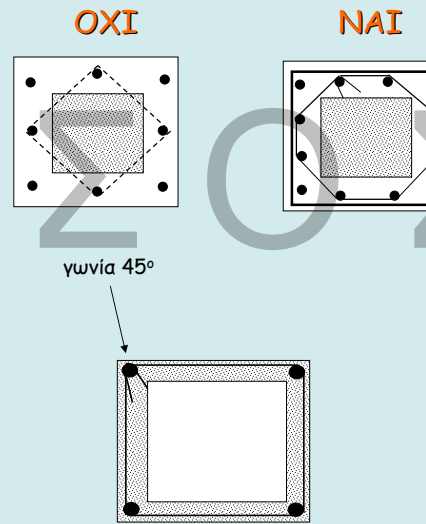
28

Τοποθέτηση ενδιάμεσων συνδετήρων σε επιμήκεις διατομές



29

Τοποθέτηση ενδιάμεσων συνδετήρων σε τετραγωνικές διατομές



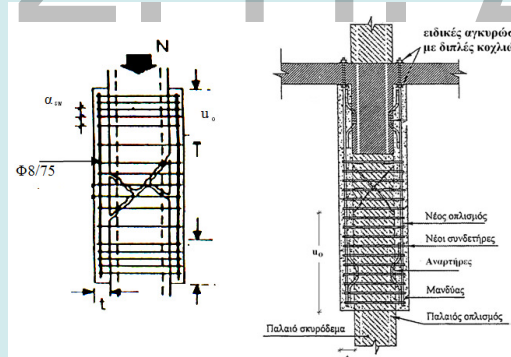
30

ΜΑΝΔΥΕΣ ΟΠΛΙΣΜΕΝΟΥ ΣΚΥΡΟΔΕΜΑΤΟΣ

Εκτίμηση Ικανότητας

Με συνεκτίμηση της σχετικής ολίσθησης στις διεπιφάνειες ή
Με χρήση συντελεστών μονολιθικότητας

Έλεγχος Μεταφοράς Δυνάμεων: Αρχικό Στοιχείο-Μανδύας



Ενδεικτική απεικόνιση άκρων μανδύα

- (a) Με επαρκές μήκος συναρμογής και στα δύο άκρα
- (β) Χωρίς επαρκές μήκος συναρμογής στο ένα άκρο

31

Θλίβουσα Δύναμη Μανδύα

$$F_{cm} = 4u_o \mu f_{ctm} + 10n_b \frac{A_{sb}}{h_s} + n_D F_{uD}$$

Τριβή Αναρτήρες "πάπιες" Βλήτρα

Ελάχιστοι Συνδετήρες Μανδύα

ΕΚΩΣ 2000

Και

$$\frac{A_{sw}}{\alpha_{sw}} \geq \frac{t \cdot f_{ctm}}{f_{ywd}}, \text{ δηλ. } \alpha_{sw} \leq 0.8 \left(\frac{f_{ywd}}{f_{ctm}} \right) \cdot \frac{d_h^2}{t}$$

Προσεγγιστική Μέθοδος Μονολιθικής Συμπεριφοράς

$$k_k = 0,80$$

$$k_r = 0,90$$

$$k_{\theta_y} = 1,25$$

$$k_{\theta u} = 0,80$$

32

ΑΥΞΗΣΗ ΦΕΡΟΥΣΑΣ ΙΚΑΝΟΤΗΤΑΣ ΕΝΑΝΤΙ ΤΕΜΝΟΥΣΑΣ Ανεπάρκεια Έναντι Λοξής Θλίψης ($V_{sd} > V_{Rd2}$)

- Με περίσφιγξη
- $f_{ck,c} = (1,125 + 1,25\alpha_w) f_{ck}$
- Με προσθήκη νέων στρώσεων σκυροδέματος
 - κλειστός μανδύας (συνιστάται)
 - τρίπλευρη ενίσχυση



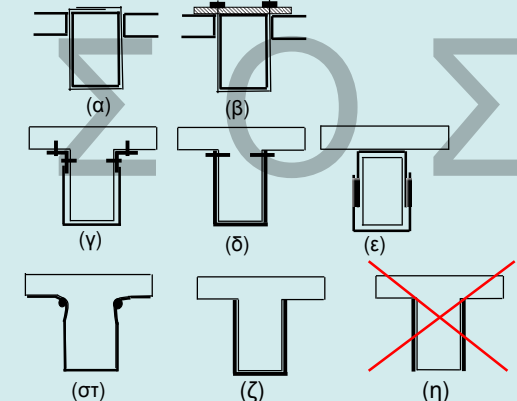
Ενδεικτικοί τρόποι ενίσχυσης σε διάτμηση έναντι ανεπάρκειας σε λοξή θλίψη:
(a) Κλειστή ενίσχυση, (b) Ανοικτή ενίσχυση

$$V_{sd} \leq \frac{1}{\gamma_{Rd}} (V_{Rd,r} + V_{RM})$$

33

Ανεπάρκεια Οπλισμού Διάτμησης ($V_{sd} > V_{Rd3}$)

- Με πρόσθετες στρώσεις σκυροδέματος
- Με εξωτερικά στοιχεία από χάλυβα ή ΙΟΤΤ



Ενδεικτικοί τρόποι ενίσχυσης σε διάτμηση έναντι ανεπάρκειας οπλισμού διάτμησης:
(a), (b) "κλειστή" ενίσχυση, (γ), (δ), (ε), (στ) "ανοικτή" ενίσχυση με αγκυρωμένα άκρα &
(ζ) "ανοικτή" ενίσχυση αποδεκτή κατά παρέκκλιση, (η) Δεν επιτρέπεται

34

ΑΥΞΗΣΗ V_{Rd3}

$$V_{Rd3} = V_{cd} + V_{wd} + V_{jd}$$

Παλαιοί συνδετήρες: $V_{wd} = \frac{A_{sw}}{S_w} z f_{ywd} (\cot \theta + \cot \alpha) \sin \alpha$

Νέα Ενίσχυση: $V_{jd} = \sigma_{jd} \cdot \rho_j \cdot b_w \cdot h_{j,ef} \cdot (\cot \theta + \cot \alpha) \cdot \sin^2 \alpha$

$$\rho_j = \frac{2A_j}{s_j \cdot b_w \cdot \sin \alpha}$$

$$A_j = t_j \cdot w_j$$

$$t_j = A_j / s_j$$

$$h_{j,ef} = 2/3 \cdot d$$

Για $\theta = 45^\circ$ και $\alpha = 90^\circ$: $V_{jd} = \sigma_{jd} \cdot \rho_j \cdot b_w \cdot h_{j,ef} = \frac{2A_j}{s_j} \cdot h_{j,ef} \cdot \sigma_{jd}$

35

Τάση Σχεδιασμού Υλικού Ενίσχυσης

$$\sum \sigma_{jd} = ;$$

Πιθανές Μορφές Αστοχίας

- Θραύση υλικού ενίσχυσης
- Μείωση της συμβολής του σκυροδέματος (V_c) λόγω σημαντικής διεύρυνσης ανοίγματος ρωγμής
- Πρόωρη αποκόλληση λόγω ανεπάρκειας σύνδεσης

36

"ΚΛΕΙΣΤΕΣ" ΕΝΙΣΧΥΣΕΙΣ

■ Για ΙΟΠΠ απαιτείται επαρκής υπερκάλυψη των áκρων του (150 έως 200mm)

■ "Ανοικτές" Ενισχύσεις με εξασφάλιση πλήρους αγκύρωσης των áκρων = οιονεί "κλειστές"

$$\sum \sigma_{jd} \leq \frac{1}{\gamma_m} f_{jk}$$

Για Χάλυβα

$$\gamma_m = 1,2$$

$$f_{jk} = f_{syk}$$

Για ΙΟΠ

$$\gamma_m = 1,2$$

$$f_{jk} = E_j \cdot \varepsilon_{j,crit}$$

$$\varepsilon_{j,crit} = k_v \cdot \varepsilon_{j,max}$$

$$k_v = 0,5$$

$$\varepsilon_{j,max} = \min (\psi \varepsilon_{ju}, 1,5\%) \quad \psi = k^{-1/4}$$

37

"ΑΝΟΙΚΤΕΣ" ΕΝΙΣΧΥΣΕΙΣ

$$\sigma_{jd} \leq \frac{\sigma_{j,crit}}{\gamma_{Rd}} \quad \sigma_{j,crit} = k_v \sigma_{j,max} < \sigma_{jd,"κλειστό"} \quad \gamma_{Rd} = 1,2$$

Μέγιστη τάση για να αποφευχθεί η αποκόλληση

$$\sigma_{j,max} = \beta \frac{\tau_b^{\alpha_{ποκ.}}}{t_j} L_e = \beta \sqrt{\frac{E_j \cdot f_{ctm}}{2 t_j}} \quad \beta = \beta_w \cdot \beta_L$$

Για ΙΟΠ

$$k_v = \begin{cases} 0,525 & \lambda \leq 0,5 \\ 0,40 + 0,25 \lambda & 0,5 \leq \lambda \leq 0,8 \\ 0,40 & \lambda > 0,8 \end{cases}$$

$$\lambda = \frac{\text{διατιθέμενο μήκος}}{\text{μήκος αγκύρωσης}} = \frac{L_{av}}{L_e} = \frac{h_{j,ef}}{L_e}$$

Για Χάλυβα

$$\text{Av } \sigma_{j,crit} \geq \sigma_{jd,"κλειστό"}$$

$$\text{Av } \sigma_{j,crit} < \sigma_{jd,"κλειστό"}$$

$$k_v = 1,0$$

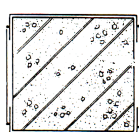
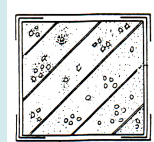
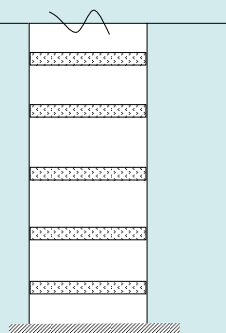
κ_v όπως ΙΟΠ

38

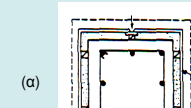
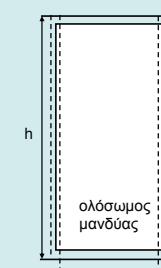
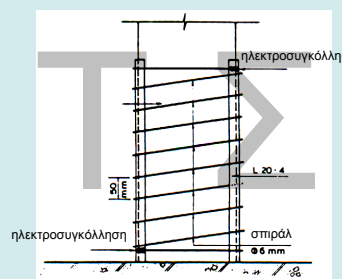
ΑΥΞΗΣΗ ΤΟΠΙΚΗΣ ΠΛΑΣΤΙΜΟΤΗΤΑΣ

Με κολάρα από χάλυβα ή ΙΟΠ

■ Επικολλητά ή προεντεταμένα



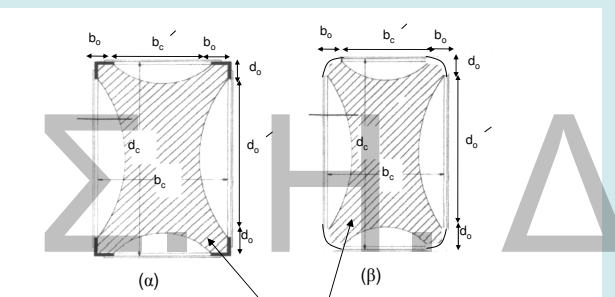
39



Περίσφιγη με σπειροειδή οπλισμό

Περίσφιγη με γενικό μεταλλικό μανδύα
(a) ορθογωνική
(β) ελλειπτική

40



(α): Περίσφιγξη με μεταλλικό κλωβό
 (β): Περίσφιγξη με ινοπλισμένα πολυμερή

41

ΑΠΑΙΤΟΥΜΕΝΟΣ ΟΠΛΙΣΜΟΣ ΠΕΡΙΣΦΙΞΗΣ - ΑΥΞΗΣΗ ΠΛΑΣΤΙΜΟΤΗΤΑΣ

Απαίτηση Στοχευόμενου μ_d :

Ομοίως με δείκτη συμπεριφοράς q , μόνο που το μ_d αντικαθιστάται με μ_{ap} .

Απαίτηση Επιθυμητής Ικανότητας Γωνίας Στροφής Χορδής θ_u :

Υπολογίζεται η $\mu_{1/r}$ μέσω αξιόπιστων συσχετισμών με τη μ_θ

$$\theta_{u,ap} = \mu_{\theta,ap} \cdot \theta_y$$

Όπου η θ_y :

Για δοκούς ή υποστυλώματα

Για τοιχώματα

$$\theta_y = (1/r)_y \frac{L_s + a_v z}{3} + 0,0013 \left(1 + 1,5 \frac{h}{L_s} \right) + \frac{(1/r)_y d_b f_y}{8\sqrt{f_c}} \quad \theta_y = (1/r)_y \frac{L_s + a_v z}{3} + 0,002 \left(1 - 0,125 \frac{L_s}{h} \right) + \frac{(1/r)_y d_b f_y}{8\sqrt{f_c}}$$

Η συσχέτιση των μ_θ και μ_d γίνεται μέσω των σχέσεων:

- $\mu_\theta = \mu_d$ μη σχηματισμός πλαστικού μηχανισμού ορόφων
- $\mu_\theta = \mu_d \frac{H_{tot}}{H_{op}}$ πιθανός σχηματισμός πλαστικού μηχανισμού σε όροφο

$$\mu_{1/r,ap} = 3\mu_{d,ap} - 2 \quad \rightarrow \quad \varepsilon_{cu,ap}^* \quad \rightarrow \quad \omega_{w,ap}$$

43

ΑΠΑΙΤΟΥΜΕΝΟΣ ΟΠΛΙΣΜΟΣ ΠΕΡΙΣΦΙΞΗΣ - ΑΥΞΗΣΗ ΠΛΑΣΤΙΜΟΤΗΤΑΣ

Απαίτηση Στοχευόμενου q :

▪ Υπολογίζεται ο απαιτούμενος δείκτης συμπεριφοράς $q_\mu = q/q_0$
 (q_0 παράγοντας υπεραντοχής δομήματος κατά EC8)

▪ Υπολογίζεται ο απαιτούμενος δείκτης πλαστιμότητας σε όρους μετακινήσεων:

$$\mu_d = \begin{cases} q_\mu & \text{όταν } T > T_2 \\ 1 + \frac{T_2}{T} (q_\mu - 1) & \text{όταν } T < T_2 \end{cases}$$

▪ Υπολογίζεται η απαιτούμενη τιμή του δείκτη πλαστιμότητας σε όρους καμπυλότητας :
 $(\mu_d - 1) : (\mu_{1/r} - 1) = 3$

▪ Υπολογίζεται η απαιτούμενη μέγιστη θλιπτική παραμόρφωση σκυροδέματος:
 $\varepsilon_{cu}^* = 2,5 \cdot \mu_{1/r} \cdot \varepsilon_{sy} \cdot V$

▪ Ογκομετρικό μηχανικό ποσοστό περίσφιξης ω_w :

$$\text{Χαλύβδινη Περίσφιξη: } \varepsilon_{cu}^* = 0,0035 + 0,1 \cdot a \cdot \omega_w$$

$$\text{Περίσφιξη με CFRP: } \varepsilon_{cu}^* = 0,0035 \left(\frac{f_c^*}{f_c} : f_c \right)^2$$

$$\text{Περίσφιξη με GFRP: } \varepsilon_{cu}^* = 0,007 \left(\frac{f_c^*}{f_c} : f_c \right)^2 \quad \text{με} \quad f_c^* = (1,125 + 1,25 \cdot a \cdot \omega_w) f_c$$

42

ΕΝΙΣΧΥΣΗ ΚΟΜΒΩΝ

Ανεπάρκεια Έναντι Διαγώνιας Θλίψης

- Αύξηση διαστάσεων μανδύα
 (για ικανοποίηση κριτηρίων παρ. 7.2.5)

Ανεπάρκεια Οπλισμού Κόμβου

- Προσθήκη μανδύα από οπλισμένο σκυρόδεμα
- Προσθήκη χιαστί κολλάρων από χαλύβδινα στοιχεία
- Προσθήκη επικολλητών ελασμάτων (από χάλυβα ή ΙΟΠΠ)
 ή υφασμάτων ΙΟΠΠ
- Αποκατάσταση ίσης διατομής και προσθήκη οπλισμών

44

ΕΝΙΣΧΥΣΗ ΚΟΜΒΩΝ

Προσθήκη Μανδύα από Ο.Σ.

- Αν οι διαστάσεις του κόμβου δεν αποτρέπουν τη διαγώνια εφελκυστική ρηγμάτωση (ΚΑΝ.ΕΤΤΕ., Κεφ. 7) ο οπλισμός του μανδύα στην περιοχή του κόμβου υπολογίζεται:

Οριζόντιος Οπλισμός

$$A_{jh} = \frac{V_{jh}}{f_{ywd}}$$

Κατακόρυφος Οπλισμός

$$A_{jv} = \frac{V_{jv}}{f_{ywd}}$$

όπου οι V_{jh} και V_{jv} υπολογίζονται ανάλογα με:

$$\Sigma M_{yb} < \Sigma M_{yc} \quad \text{ή} \quad \Sigma M_{yb} > \Sigma M_{yc}$$

45

ΕΝΙΣΧΥΣΗ ΚΟΜΒΩΝ

Προσθήκη χιαστί κολλάρων από χαλύβδινα στοιχεία



46

ΕΝΙΣΧΥΣΗ ΚΟΜΒΩΝ

Προσθήκη χιαστί κολλάρων από χαλύβδινα στοιχεία

- Απαιτούμενη Διατομή Χαλύβδινων Στοιχείων σε κάθε Διαγώνια διεύθυνση δίνεται από τη σχέση:

$$A_{j\delta} = \frac{F_{j\delta}}{\gamma_{Rd} f_{yd}}$$

Όπου η διαγώνια εφελκυστική δύναμη στον κόμβο ($F_{j\delta}$) ισούται με:

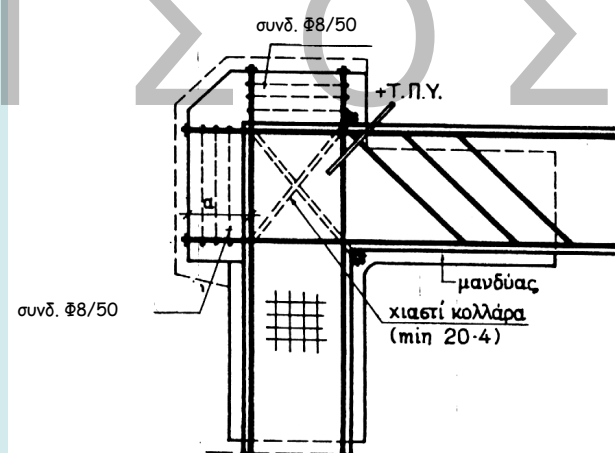
$$F_{j\delta} = \frac{V_{jh}}{h_c} h_\delta = \frac{V_{jv}}{h_b} h_\delta$$

h_δ : μήκος διαγωνίου του κόμβου

V_{jh}, V_{jv} : δίνονται από τους ίδιους τύπους για τους μανδύες

47

Προσθήκη μήκους αγκύρωσης - τεχνική "καμπούρας"



48

ΕΝΙΣΧΥΣΗ ΚΟΜΒΩΝ

Προσθήκη επικολλητών ελασμάτων (από χάλυβα ή ΙΟΠ) ή υφασμάτων ΙΟΠ

- Ελάσματα από χάλυβα:

$$t_{el} \geq \max \left(\frac{V_{jh}}{h_b \sigma_{jd}}, \frac{V_{jv}}{h_c \sigma_{jd}} \right)$$

- Ελάσματα ή Υφάσματα από ΙΟΠ:

Απαιτούνται ίνες και προς τις δύο διευθύνσεις.

Ίνες // άξονα δοκού

$$t_{jh} = \frac{V_{jh}}{h_d \sigma_{jd}}$$

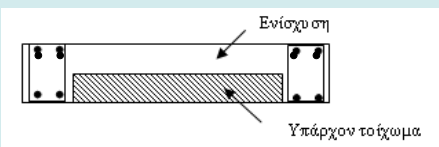
Ίνες // άξονα υποστυλώματος

$$t_{jv} = \frac{V_{jv}}{h_c \sigma_{jd}}$$

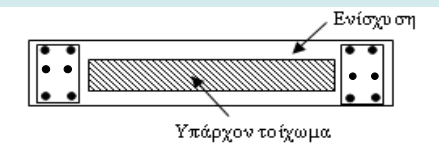
49

ΕΝΙΣΧΥΣΗ ΤΟΙΧΩΜΑΤΩΝ

- Αποκατάσταση Ανεπαρκών Αναμονών
Όπως και στα υποστυλώματα
- Αύξηση Φέρουσας Ικανότητας Έναντι Κάμψης
 - ✓ Προσθήκη υποστυλωμάτων στα άκρα
 - ✓ Μονόπλευρη ενίσχυση και προσθήκη υποστυλωμάτων



✓ Ολόπλευρος κλειστός μανδύας (συνιστάται)



51

ΕΝΙΣΧΥΣΗ ΚΟΜΒΩΝ

Αποκατάσταση ίσης διατομής και προσθήκη οπλισμών

- Η Αποκατάσταση ίσης Διατομής γίνεται με την προσθήκη οριζόντιων και κατακόρυφων συνδετήρων.

Η συνολική διατομή τους υπολογίζεται από τις σχέσεις:

$$A_{jh,tot} \geq \frac{\gamma_{Rd} V_{jh}}{f_{ywd}}$$

$$A_{jv,tot} \geq \frac{\gamma_{Rd} V_{jv}}{f_{ywd}}$$

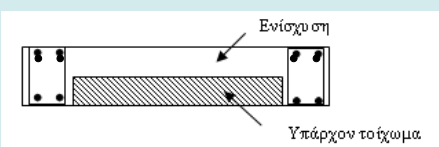
Οριζόντιοι συνδετήρες

Κατακόρυφοι Συνδετήρες

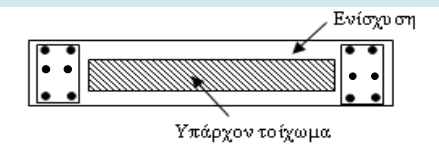
50

ΕΝΙΣΧΥΣΗ ΤΟΙΧΩΜΑΤΩΝ

- Αποκατάσταση Ανεπαρκών Αναμονών
Όπως και στα υποστυλώματα
- Αύξηση Φέρουσας Ικανότητας Έναντι Κάμψης
 - ✓ Προσθήκη υποστυλωμάτων στα άκρα
 - ✓ Μονόπλευρη ενίσχυση και προσθήκη υποστυλωμάτων



✓ Ολόπλευρος κλειστός μανδύας (συνιστάται)



ΕΝΙΣΧΥΣΗ ΤΟΙΧΩΜΑΤΩΝ

- Αύξηση Φέρουσας Ικανότητας Έναντι Τέμνουσας
 - ✓ Ανεπάρκεια λόγω λοξής θλίψης κορμού
Προσθήκη νέων στρώσεων σκυροδέματος ή μανδύα
 - ✓ Ανεπάρκεια οπλισμού διάτμησης
Προσθήκη Εξωτερικών στοιχείων χάλυβα ή ΙΟΠ ή μανδύας
- Ολίσθηση Τοιχώματος
 - ✓ Προσθήκη κατακόρυφων μεταλλικών στοιχείων εκατέρωθεν του αρμού
 - ✓ Τοπικός μανδύας
- Αύξηση Πλαστιμότητας
(Δεν προσφέρονται οι μέθοδοι περίσφιγξης)
 - ✓ Αύξηση διατομής θλιβόμενου πέλματος
με προσθήκη εγκάρσιου τοιχώματος
με τοπική διεύρυνση του άκρου
 - ✓ Τοποθέτηση εγκαρσίων διαμπερών σφικτήρων

52

ΕΜΦΑΤΝΩΣΗ ΠΛΑΙΣΙΩΝ

- Σημαντική Αύξηση της Δυσκαμψίας και της Σεισμικής αντίστασης του φορέα

Μορφές:

- Προσθήκη Απλού "Γεμίσματος"
- Τοιχωματοποίηση Πλαισίου
- Ενίσχυση Υφισταμένων Τοίχων Πληρώσεως

Κρίσιμα σημεία της μελέτης

- Έλεγχος επάρκειας μεταφοράς τέμνουσας στις στάθμες των ορόφων
- Μικρή Αξονική → Μειωμένη Ενεργός Δυσκαμψία, Μεγάλη Στροφή στο Θεμέλιο

Κατασκευαστικά θέματα

- Δυσκολία αγκυροδέτησης (ανεπαρκής πρόσβαση στην κορυφή)
- Αντιμετώπιση συστολής ξήρανσης

53

ΤΟΙΧΟΜΑΤΟΠΟΙΗΣΗ ΠΛΑΙΣΙΟΥ

- Εμφάνωση πλαισίων με Οπλισμένο Σκυρόδεμα
- Απαιτείται Εξασφάλιση της σύνδεσης με το περιβάλλον πλαισίωμα
- Κατασκευή κλειστών μανδυών στα υποστυλώματα εκατέρωθεν του νέου τοιχώματος με κατακόρυφους συνεχείς οπλισμούς και οπλισμό περίσφιξης.

55

ΠΡΟΣΘΗΚΗ ΑΠΛΟΥ "ΓΕΜΙΣΜΑΤΟΣ"

- Τοιχώματα από: α) Άοπλο ή οπλισμένο σκυρόδεμα (επί τόπου κατασκευαζόμενα ή προκατασκευασμένα)
β) Άοπλη ή οπλισμένη τοιχοποιία
- Δεν λαμβάνονται ειδικά μέτρα σύνδεσης του γεμίσματος με το πλαίσιο
- Προσομοίωση του γεμίσματος μέσω διαγώνιου θλιπτήρα
- Χαμηλή πλαστιμότητα. Συνιστάται $t \leq 1,5$

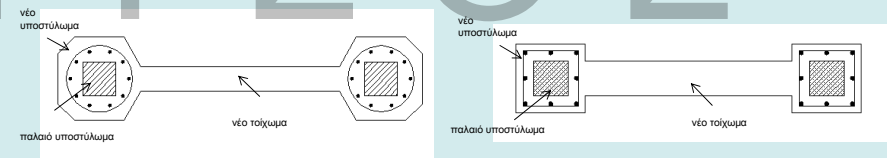
Προσοχή

Πρόσθετες Τέμνουσες σε Δοκούς και Υποστυλώματα

54

ΤΟΙΧΟΜΑΤΟΠΟΙΗΣΗ ΠΛΑΙΣΙΟΥ

Εμφατνώσεις πάχους μικρότερου ή ίσου με το πλάτος της δοκού



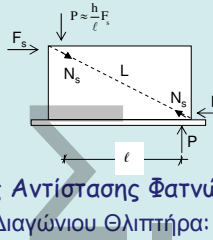
Εμφατνώσεις πάχους μεγαλύτερου του πλάτους της δοκού



56

ΤΟΙΧΟΜΑΤΟΠΟΙΗΣΗ ΠΛΑΙΣΙΟΥ

Προσομοίωμα Ελέγχου Επάρκειας



Ασκούμενη Τέμνουσα στο Τοίχωμα:

$$F_s = V_s - \frac{2V_{Rc}}{\gamma_{sd}}$$

Έλεγχος Αντίστασης Φατνώματος:

- Θλίψη Διαγώνιου Θλιπτήρα:

$$N_s = \frac{L}{\ell} F_s \quad N_R = \lambda f_c t_w b_w \\ f_c' = 0,6 f_c$$

b_w = ενεργό πλάτος διαγώνιου θλιπτήρα
 $\lambda \approx 0,4$, συντελεστής απομένουσας απόκρισης του διαγώνιου θλιπτήρα μετά την υπέρβαση της κρίσιμης παραμόρφωσής του

- Διάτμηση κατά Μήκος των Διεπιφανειών:

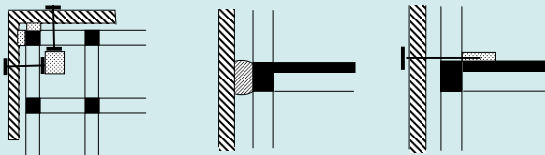
$$F_{\beta_{λ., opic.}} = F_s - \frac{\ell}{L} N_R > \frac{1}{2} n_\delta D_u \quad F_{\beta_{λ., κατ.}} = \frac{h}{\ell} F_{\beta_{λ., opic.}} > \frac{1}{2} n_v D_u$$

Ελάχιστη ποσότητα βλήτρων 3Φ16 ανά μέτρο της περιμέτρου και ρ_{min}

57

ΠΡΟΣΩΗΚΗ ΝΕΩΝ ΠΑΡΑΠΛΕΥΡΩΝ ΤΟΙΧΩΜΑΤΩΝ

(Άλση που απαιτεί ιδιαίτερα ψηλή μελετητική και κατασκευαστική εμπειρία)



Ενδεικτική διάταξη συνδέσμων: α) κάτωψη, β) τομή σε θλιπτικό σύνδεσμο, γ) τομή σε εφελκυστικό σύνδεσμο

59

ΕΝΙΣΧΥΣΗ ΥΦΙΣΤΑΜΕΝΩΝ ΤΟΙΧΩΝ

ΠΛΗΡΩΣΕΩΣ

- Με αμφίπλευρες στρώσεις εκτοξεύομενου σκυροδέματος

Ελάχιστο πάχος 20 mm

Ελάχιστη Αντοχή 30 MPa

Χρήση αναστολέων διάβρωσης

Εξασφάλιση της από κοινού λειτουργίας υφιστάμενης τοιχοποίιας με τις δύο στρώσεις ενίσχυσης: Έλεγχος διατμητικής ικανότητας διεπιφανειών, Διαμπερής σύνδεση νέων πλεγμάτων μέσω σιγμοειδών συνδέσμων (τουλάχιστον 2 /m²)

- Αντίσταση ενισχυμένου τοίχου = Αντίσταση λοξού θλιπτήρα με αντοχή

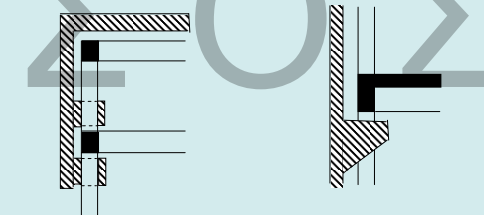
$$f_{wc,fd} = \frac{t \cdot f_{wcd} + a_c \cdot \Delta t \cdot f_{cd}}{t_w}$$

υπό την προϋπόθεση $V_s \leq V_{u,w}$ (Διατμητική αντίσταση κορμού)

$$V_{u,w} = \frac{1}{Y_{Rd}} \left[\frac{0,3}{\sqrt{a_s}} (f_{wtd} + \sigma_0) + \lambda_e \cdot \rho_v \cdot h \cdot f_{wyd} \right] \cdot L_w \cdot t_w$$

58

- Επιτρέπεται η διάταξη προεξοχών των τοιχωμάτων εντός υφιστάμενου του σκελετού για παρεμπόδιση της ελεύθερης ανύψωσης του εφελκυόμενου πέλματος τους



Ενδεικτική θέση προεξοχών τοιχώματος για παρεμπόδιση ανύψωσης του εφελκυόμενου πέλματός του

Θεμελίωση

- Συνίσταται να θεμελιώνονται χωριστά
- Ελέγχονται οι επιπτώσεις καθίζησης και στα στοιχεία θεμελίωσης του υφιστάμενου δομήματος

60

ΠΡΟΣΘΗΚΗ ΔΙΚΤΥΩΤΩΝ ΣΥΣΤΗΜΑΤΩΝ

Κυρίως αύξηση δυσκαμψίας & πλαστιμότητας

Τύπος

- Χιαστί διαγωνίων, σχήματος Λ ή V, ορθού ή ανεστραμμένου Y.

Απαγορεύεται η μορφή K

Εμφανούμενα ή Παράπλευρα

Κρίσιμα σημεία της μελέτης

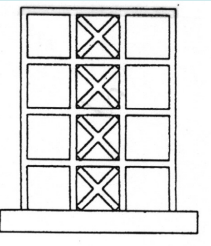
- Αξιολόγηση ανακατανομής έντασης
- Επάρκεια αντοχής κόμβων

Κατασκευαστικές

- Απαιτείται εξειδικευμένη εμπειρία

Λεπτομέρειες

- Προτιμάται η εμφάνωση της μεταλλικής δικτύωσης, έστω και μόνο στα υποστυλώματα. π.χ. στο εσωτερικό του κτιρίου χωρίς καθαίρεση των τοιχοπληρώσεων
- Συνιστάται η κατασκευή μεταλλικού περιμετρικού πλαισίου
- Οι ατέλειες προσαρμογής στον περιβάλλοντα φέροντα οργανισμό αντιμετωπίζονται με την κατασκευή πρόσθετης στρώσης σκυροδέματος σύνδεσης μεταλλικού πλαισίου και Φ.Ο.



61

ΕΛΑΣΤΙΚΗ ΑΝΑΛΥΣΗ

Στάθμη Επιτελεστικότητας Β και Γ

Πρωτεύοντα:

- (α) τα στοιχεία των Δικτυωτών Συνδέσμων
- (β) τα περιβάλλοντα "σύμμεικτα" κατακόρυφα και οριζόντια στοιχεία

Ανάλογα με την Στάθμη Επιτελεστικότητας και τον Τύπο συνδέσμων

προτείνονται συντελεστές συμπεριφοράς q υπό προϋποθέσεις:

- ✓ Συμμετρικής διάταξης και διατομών
- ✓ Ομαλής κατανομής υπεραντοχής σε κάτοψη και καθ' ύψος
- ✓ Υπεραντοχή κατακορύφων και οριζόντιων στοιχείων έναντι των ράβδων δικτύωσης
- ✓ κ.α

Στάθμη Επιτελεστικότητας Α

- ✓ Όλα τα στοιχεία του δομήματος συμμετέχουν στο προσομοίωμα
- ✓ $q=1,00$

63

ΠΡΟΣΘΗΚΗ ΔΙΚΤΥΩΤΩΝ ΣΥΣΤΗΜΑΤΩΝ

Διαστασιολόγηση

Κατά ΚΑΝ.ΕΠΕ. και EC8 - Μέρος 3

Υπό προϋποθέσεις προτείνεται:

- Σ.Ε. «Προστασία Ζωής»:
 - Απλές διαγώνιες ράβδους και δισδιαγώνιες δικτυώσεις τύπου X: $q = 3,5$
 - Δικτυώσεις τύπου V ή Λ : $q = 1,5 - 2$ ανάλογα με τον τύπο διατομής δικτύωσης
- Σ.Ε. «Αποφυγή οιονεί κατάρρευσης»: Αύξηση των ανωτέρω κατά 35% Για δικτυωτά συστήματα με εκκεντρότητα (παρουσία δοκού σύζευξης - «σεισμικού συνδέσμου»)

Υπό προϋποθέσεις

- Σ.Ε. «Προστασία Ζωής»: $q = 5$
- Σ.Ε. «Αποφυγή οιονεί κατάρρευσης»: $q = 7$

Εν γένει για Σ.Ε. «Άμεση χρήση μετά από σεισμό»: $q = 1$

62

ΑΝΕΛΑΣΤΙΚΗ ΑΝΑΛΥΣΗ

✓ Όλα τα στοιχεία του ενισχυμένου δομήματος συμμετέχουν στο προσομοίωμα

✓ Ελαστοπλαστική συμπεριφορά ράβδων δικτύωσης

$$F_y = F_{\delta_{\text{diaprosis}}}$$

$$F_y = 20\% F_{\delta_{\text{lygismou}}}$$

$$\delta_u = 12\delta_y$$

$$\delta_u = 8-10 \delta_{\delta_{\text{lygismou}}}$$

για εφελκυόμενα μέλη

για θλιβόμενα μέλη

για εφελκυόμενα μέλη

για θλιβόμενα μέλη

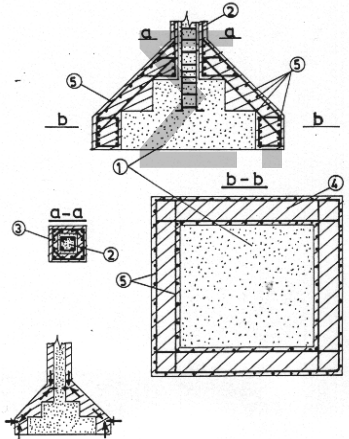
64

ΕΝΙΣΧΥΣΕΙΣ ΣΤΟΙΧΕΙΩΝ ΘΕΜΕΛΙΩΣΗΣ

- Ανεπάρκεια επιφάνειας έδρασης
- Ανεπάρκες ύψος



Αύξηση διαστάσεων
Συνδυασμός με ενίσχυση κατακόρυφων μελών



Ενδεικτική ενίσχυση πεδίων με την τεχνική των μανδών,
όταν η επέμβαση περιλαμβάνει και ενίσχυση του φέροντος κατακόρυφου στοιχείου

65

$$\sum A_{sw} \geq \frac{P_n \tan \alpha}{f_{ywd}}$$

•ΚΑΝΟΝΙΣΜΟΣ ΕΠΕΜΒΑΣΕΩΝ:

www.oasp.gr

•www.episkeves.civil.upatras.gr

66

Σ. Η. ΔΡΙΤΣΟΣ